

**Физические Принципы Настройки Аппаратных Функций измерительных приборов**Е.Н. Терентьев<sup>1,\*</sup>, Н.Е. Терентьев<sup>2,†</sup>, Ю.А. Пирогов<sup>3,‡</sup>, И.И. Фаршакова<sup>1,§</sup><sup>1</sup>Московский государственный университет имени М.В. Ломоносова, физический факультет, кафедра математического моделирования и информатики Россия, 119991, Москва, Ленинские горы, д.1, стр. 2<sup>2</sup>HiQo Solutions, Moscow, 135 Cedar St Richmond Hill, Georgia 31324, USA<sup>3</sup>Московский государственный университет имени М.В. Ломоносова, физический факультет, кафедра фотоники и физики микроволн Россия, 119991, Москва, Ленинские горы, д.1, стр. 2

(Статья поступила 15.12.2017; Подписана в печать 15.12.2017)

Предлагаются Физические Принципы Настройки (ФПН) Аппаратных Функций (АФ) приборов по размерам областей определения АФ  $pO$ . Выбираются такие размеры области определения АФ  $pO$ , чтобы ее обратная разрешающая функция  $pR=pO^{-1}$  на выбранной дискретной области имела минимальную норму. В методе ФПН АФ приборов результат обратим, нет «априорной гладкости решений» с остаточной ошибкой, как в методе регуляризации. Применение метода ФПН демонстрируется на примере решения задачи о сверхразрешении радиоизображения Солнца в сравнении с результатом, полученным методом регуляризации.

PACS: 02.30.Nw, 02.30.Zz УДК: 517.444

Ключевые слова: модуляционная передаточная функция, обусловленность, свертка, преобразование Фурье, обратная проблема, предельное сверхразрешение, радиовидение.

**ВВЕДЕНИЕ**

Мы все привыкли к обозначениям и терминологии метода регуляризации. В данной работе предлагается подход к решению обратной проблемы без применения принципа «априорной гладкости решения». Мы используем свои обозначения, вводим новые понятия и делаем упор на объяснение новых моментов в постановке обратной проблемы. Обычно прибор способен оцифровывать изображения с определенным шагом, который задается разработчиком прибора. Будем считать этот шаг единичным  $dx=1$ . С шагом  $dx=1$  оцифровывается непрерывная (заданная параметрически) АФ  $paO$  в дискретную АФ  $O$  и сигнал на выходе измерительного прибора:  $Iy=O*Ix$ .

Для обращения искажений прибор должен иметь возможность заново измерить сигнал  $Iy$  с меньшими шагами оцифровки  $dx<1$ . Если такой возможности нет, прибор физически не сможет уменьшить шаг оцифровки и тогда вычислитель прибора должен пересчитать измеренные данные  $Iy$  под меньший шаг  $dx<1$ . Цель пересчета: получить обратимую дискретную АФ  $pO$  из непрерывной АФ  $paO$ . Такие пересчитанные или интерполированные изображения получаются с применением КонечноМерной Теоремы Отсчетов (КМТО) [1].

На рис. 1 слева демонстрируются две дискретные АФ  $O$  с  $dx=1$  и  $dx=1/2$ , полученные дискретизацией стандартной гауссоиды  $paO$ , с областью определения от  $-3$  до  $+3$ , т.е. с длиной  $Loc=6$ . Сле-

ва показано, как вводится параметр обусловленности  $DIAP$  (сокращение от слова Diapason). Область значений пары Модуляционных Передаточных Функций (МПФ)  $M(pO)$  и  $M(pR)$  находится в диапазоне от  $diap$  до  $DIAP=1/diap$ . Если МПФ  $M(O)$  ограничена снизу:  $diap \leq |M(O)| \leq 1$ , то  $1 \leq |M(R)|=1/|M(O)| \leq DIAP$ . Если при четных АФ  $O$  устремим  $DIAP$  к единице, то получим тождество  $M(D_K) \equiv 1$  и для АФ  $D_K$  ( $D_K$  — дельта-символ Кронекера) наиболее обусловленную АФ.

**1. ОБУСЛОВЛЕННОСТЬ АФ. ИНСТРУМЕНТАЛЬНАЯ ОШИБКА**

В современных компьютерах Преобразование Фурье (ПФ) на несколько десятков точек отсчетов реализуется с точностью мантиссы, т.е. порядка  $10^{-14} \sim 10^{-15}$ . Если базисы Фурье двумерные, то точность расчетов будет порядка  $10^{-13}$ . Введем инструментальную ошибку (или инструментальный ноль —  $Iz=10^{-13}$ ), которая возникает из-за мантиссных ошибок.

В курсах линейной алгебры для симметричных матриц вводят величину — обусловленность матрицы — как обратную величину от минимального собственного значения матрицы. У нас такой величиной для АФ  $O$ , которой соответствует циклическая матрица, как раз и является обусловленность  $DIAP=1/diap$ ,  $diap=\min|M(O)|$ . Понятно, что это имеет смысл при  $diap>Iz$ .

Суть обратной проблемы заключается в том, что должен существовать промежуток с величиной  $md$  между  $diap$  и  $Iz$  (рис. 1). Если он есть и достаточно большой, типа:  $md>\sigma>Iz$ , то обратная задача решается обычным обращением. Если  $md$  равен нулю и  $\min|M(O)|<Iz$  в обширных областях, то нет смыс-

\*E-mail: en.teren@physics.msu.ru

†E-mail: nikolay.terentyev@gmail.com

‡E-mail: yupi937@gmail.com

§E-mail: irinafarshakova@gmail.com

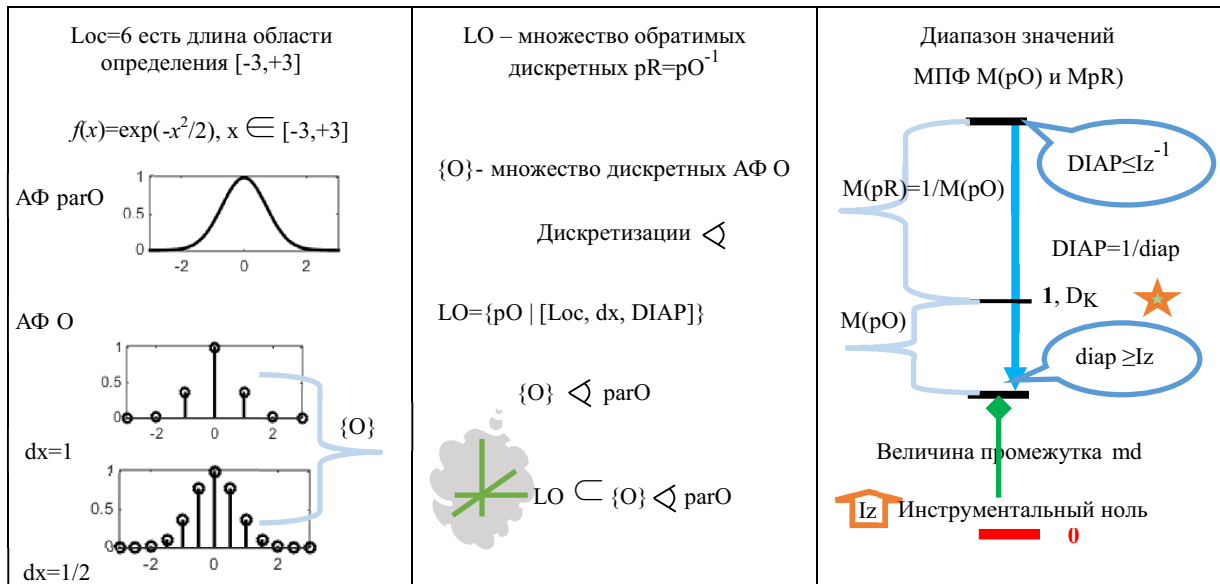


Рис. 1: Иллюстрации основных понятий ФПН

ла говорить об обратной проблеме. В данной работе мы по сути делаем работоспособными ФПН приборы в ситуации  $md \sim \sigma > Iz$  и  $|M(O)|$  своими значениями может несколько раз попасть в  $Iz$ . Меняя параметры  $L_{oc}$  и  $dx$  мы пытаемся «вытолкнуть»  $M(O)$  из  $Iz$ . Если не получается, «выталкиваем» обусловленностью  $DIAP = 1/diap$ . Величина промежутка (рис. 1, слева стрелка с квадратом на конце и рядом знак  $md$ ) определяется в основном значением  $dip = \min |M(pO)|$ .

Минимум нормы  $pR$  реализуется в множестве  $LO = \{pO \mid [L_{oc}, dx, DIAP]\}$ . Из множества  $LO$  берем только АФ  $pO$  с  $\min \text{Nor}(pR)$ , т.е. ФПН приборы или работоспособные (ФПН) приборы. Размеры исходного изображения могут быть любыми.

По сути в данной работе предлагается реализовать ФПН прибора так, чтобы искажения дискретного АФ  $pO$  прибора в вычислителе полностью компенсировались обычным обращением.

Мы используем термины ФПН; возможно вместо ФПН будут использоваться термины типа «управление АФ  $pO$ », «самонастраивающийся прибор» или «прибор с адаптивной АФ  $pO$ » или Математический Микроскоп.

Понятно, что отличительным моментом ФПН является получение предельного сверхразрешения объектов меньше размера пиксела, т.е. реализуется субпиксельное разрешение.

В данной работе мы ограничились шагом оцифровки  $dx=1$  и  $dx = 1/4$ , так чтобы можно было говорить условно о дискретном и непрерывном случаях.

До конца 2016г в постановках задач компенсации искажений АФ  $pO$  с  $dx=1$  мы настраивались под размер изображения, который меняли специальными областями Windows нейтрализации и осуществляли четное продолжение на тор, чтобы подавить граничные

эффекты. При этом возможность использования ПФ сохранялась. В новой схеме сверхразрешения с интерполяцией использовать ПФ не всегда бывает возможно. Проще настраивать в пределах множества  $LO$ : малых размеров  $L_{oc}$  областей определения АФ  $pO$ . От применения ПФ к решению задачи компенсации искажений АФ  $O$  по всему изображению отказались. Объемы вычислений резко возросли, так как интерполяция по КМТО в пределах пикселей оказалась затратной из-за невозможности использования ПФ из-за граничных эффектов. Искажения компенсируются по точкам сетки  $(1/dx, 1/dx)$  внутри квадратов со стороной  $L_{oc}$  исходного изображения.

Замечание. Если в некоторых теориях утверждается, что решается «обратная проблема», то в этих теориях должны быть использованы понятия «обусловленность» АФ или матрицы  $A$ , а также индикатор «обратимости». Должны быть представлены АФ  $pO$  и  $pR * O$ , которые сопровождают результат со сверхразрешенным изображением.

Должны, конечно, присутствовать и характеристики качества полученного решения, представленные определенными функциями типа Характеристики Адекватности Модели (ХАМ) АФ  $O$ .

Если такие понятия отсутствуют, то непонятно, о чем идет речь.

## 2. ПОСТАНОВКА ЗАДАЧИ

1. Пусть имеет место линейная модель регистрации изображений

$$I_{\sigma} = O * I_x. \quad (1)$$

2. Основная задача по выбору АФ  $pO = pR^{-1}$  ставится как задача на минимум

$$\min_{LO} \{ ||pR|| | Err(pO) \leq err \}, \quad (2)$$

$$LO = \{ pO | [Loc, dx, DIAP] \}$$

с ХАМ экспериментальной Дискретной Измерительной Системы (ДИС)

$$\{ x = \text{Nor}(pR), \quad y = \text{Err}(pO), \quad z = \Pi(pR * O) \}. \quad (3)$$

В связи с попаданием  $\min |M(O)|$  в  $Iz$  мы рассмотрим вариант ХАМ АФ  $zO$ , принимая во внимание  $Iz$  обращение МПФ:

$$M(zR) = \begin{cases} 1/M(O), & \text{if } |M(O)| > Iz, \\ M(O). \end{cases} \quad (4)$$

$$\{ x = \text{Nor}(zR), \quad y = \text{Err}(zO), \quad z = \Pi(zR * O) \}. \quad (5)$$

Принципы Управления АФ  $O$  с ХАМ ФПН (3,5) позволяют полностью прояснить ситуацию с обращением с АФ  $O$ .

3. Заново измерить  $pI_\sigma$  или пересчитать  $I_\sigma$  в  $pI_\sigma$ .

4. Вычислить  $pR * pI_\sigma$  — оценку  $Ix$ .

Заметим, что в постановке задачи на минимум (2) мы реализуем минимальный коридор ошибок  $\pm \text{Nor}(pR)\sigma$  или максимальную точность оценки для  $Ix$ .

### 3. ИНСТРУМЕНТЫ РЕАЛИЗАЦИИ ФПН

Данные об инструментах реализации ФПН и соответствующих обозначениях представлены в работах [1, 3–5]. Ниже римскими цифрами перечислим восемь основных инструментов реализации ФПН.

I. *Полосы пропускания* ФПН прибора будем оценивать величинами (ВР сокращение от Band Pass):  $ВР = \Sigma M(pR) * M(O)$  и  $ВРz = \Sigma M(zR) * M(O)$ .

II. *Эффективность использования полосы пропускания* ФПН прибора будем оценивать величинами:  $M(pR)M(O) = ВР / \Sigma 1$  и  $M(zR)M(O) = ВРz / \Sigma 1$ .

III. *Теоремы обратимости в полосе пропускания* ФПН прибора: Дано АФ  $O$ . Если вычисления обратной  $R$  реализуются с инструментальной ошибкой  $Iz$ , то с этой инструментальной ошибкой сохраняются равенство и неравенство:  $\Pi(zR * O) = M(zR)M(O) \leq 1$ . Неравенства имеют место в случаях с ошибкой рассогласования  $\Pi(zR * O) < 1$ . Это означает, что обратимость имеет место только в части  $M(zR)M(O)$  полосы пропускания ДНП.

IV. *Свойство обратимости*: Для всех значений  $Loc$ ,  $dx = 1$  и  $DIAP$  в  $LO$  множество АФ  $O$  отображается в множество обратимых  $pO = pR^{-1}$ ,  $M(pR) = 1/M(pO)$  и при этом индикатор обратимости  $\Pi(pR * pO) = 1$ .

V. *Теорема обратимости*: Дано АФ  $O$  и имеет место  $zR$  — условное обращение, т.е. обращаются только  $|M(O)| \geq Iz$ , тогда из  $Iz$  обратимости  $\Pi(zR * O) = 1$  следует обратимость  $\Pi(R * O) = 1$ ,  $zR = R = O^{-1}$  с использованием всей полосы пропускания  $M(zR)M(O) = 1$ , тождеством  $M(zR)M(O) \equiv 1$ .

VI. *Оценивание величины сверхразрешения*. Если имеет место нормировка АФ  $O$ :  $\Sigma O = 1$ , то в нуле МПФ  $M(O)(0) = 1$ . Будем оценивать сверхразрешение величиной (SR — сокращение от Super Resolution):

$$SR = ВР / \Sigma M(O). \quad (6)$$

Заметим, что  $SR \geq 1$ . Если АФ  $O = D_K$ , то  $SR = 1$ . Понятно, что проблема сверхразрешения возникает в реальных приборах с АФ  $O \neq D_K$ . Величина сверхразрешения SR есть функция параметров множества  $LO = \{ pO | [Loc, dx, DIAP] \}$  (2). Желательно, чтобы величина сверхразрешения не зависела от размеров изображений с большими  $Loc$ .

VII. *Ошибки АФ O*. Ошибка в АФ  $pO$  оценивалась в виде  $Err(pO) = SD(O - pO) / \max(O)$ .  $SD$  — стандартное отклонение величин  $O - pO$  или  $SD(O - pO) = \sqrt{(\Sigma(O - pO)^2) / \Sigma 1}$ , где  $\Sigma 1$  — количество точек в области определения АФ  $O$ ,  $pO$ .

VIII. *Конечномерные теоремы отсчетов (КТМО)*. Известную теорему Котельникова невозможно связать с операциями анализа [9]. В работах [2–6] приводятся формулировки многомерных теорем отсчетов для вычисления многократных интегралов и операций теории поля. Ниже мы ограничимся упрощенной формулировкой КМТО для интерполяции двумерных изображений. 2D КМТО:

Даны двумерный массив отсчетов  $D = f(x_0, y_0)$ , двумерные матрицы дискретных Фурье гармоник  $H(kx, x_0)$ ,  $x_0 = 0 : N - 1$ ,  $H(ky, y_0)$ ,  $y_0 = 0 : M - 1$  и «непрерывных» Фурье гармоник  $H(kx, x)$ ,  $x = 0 : dx : N - dx$ ,  $H(ky, y)$ ,  $y = 0 : dy : M - dy$ ,  $dx < 1$ ,  $dy < 1$ , тогда «непрерывная» функция

$$f(x, y) = \sum_{k_x, k_y=1}^{N, M} C_{k_x, k_y} * H(k_x, x) * H(k_y, y). \quad (7)$$

$$C_{k_x, k_y} = (f(x_0, y_0), H(k_x, x_0) * H(k_y, y_0)) =$$

$$= \sum_{x_0, y_0=1}^{N, M} f(x_0, y_0) * H(k_x, x_0) * H(k_y, y_0),$$

$$k_x = 1 : N, \quad k_y = 1 : M. \quad (8)$$

проходит через точки отсчетов  $f(x_0, y_0)$ . Скалярные произведения (8) реализуют прямое дискретное ПФ, а Фурье ряд (7) — обратное дискретное ПФ с интерполяцией, если  $dx < 1$ ,  $dy < 1$ . Такая интерполяция работает, если нет перепадов яркостей на границе, как в нашем случае с радио изображением Солнца далее. В противном случае интерполяцию следует выполнять в специальном защищенном режиме [2, 6].

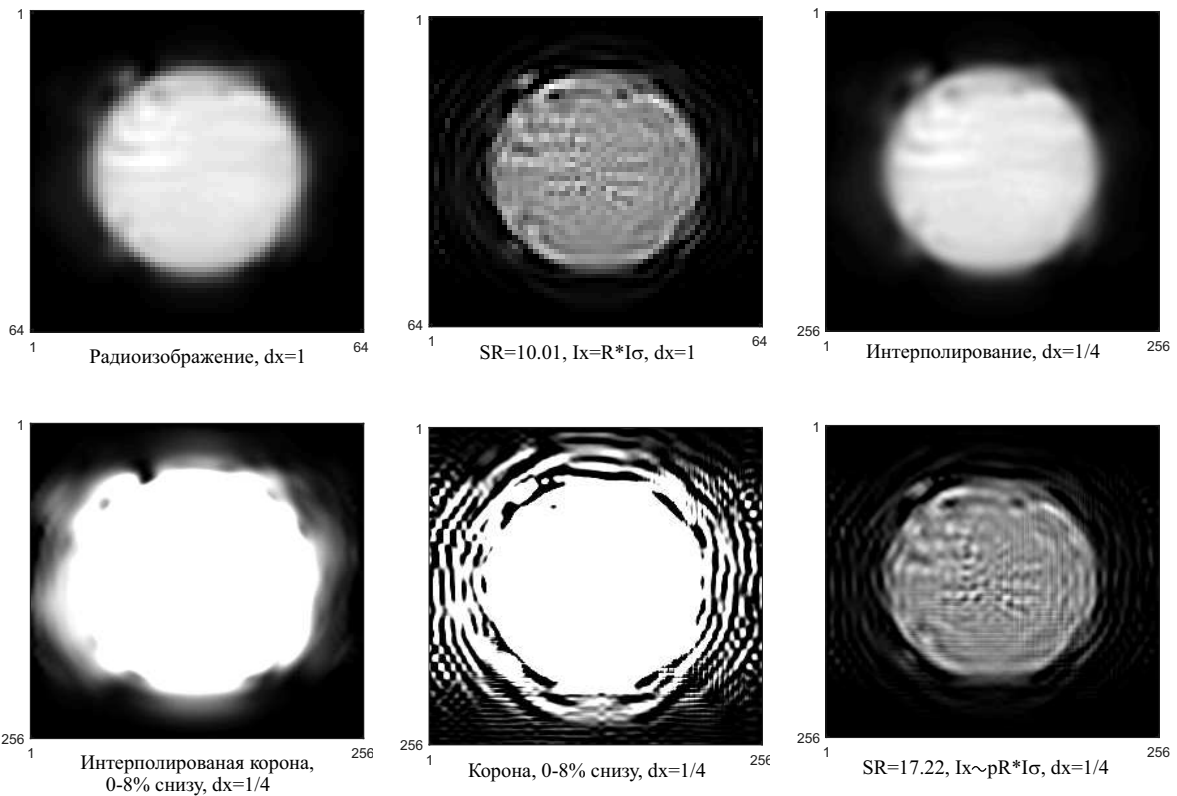


Рис. 2: Примеры применения ФПН АФ О в задаче о сверхразрешении радиоизображения Солнца в дискретном  $dx=1$  и непрерывном  $dx = 1/4$  случаях

#### 4. ПРИМЕР ФПН СВЕРХРАЗРЕШЕНИЯ С ИНТЕРПОЛЯЦИЕЙ

В качестве такового взято радиоизображение Солнца, полученное с помощью радиотелескопа 3-мм диапазона РТ-7.5, расположенного на Дмитровском полигоне МГТУ имени Н. Э. Баумана и построенного под руководством профессора МГТУ Б. А. Розанова. Параболическое зеркало радиотелескопа имело диаметр около 8 м и обеспечивало сканирование пространства с диаграммой направленности в  $3'$ . При расстоянии от Земли до Солнца в 150 млн. км это соответствует наблюдаемому на поверхности Солнца пикселу с линейным размером около 50 тыс. км или одной тридцатой части диаметра солнечного диска. Как видим, исходное изображение весьма размытое и необходимо реализовать сверхразрешение ФПН методом. В приведенном ниже примере по сути реализовано субпиксельное разрешение исходного изображения.

#### 5. ФПН АФ О

Область определения АФ О имела параметр  $Loc=12$ , т.е. находилась в квадрате со стороной  $[-6, 6]$ , а обусловленность составляла  $DIAP=100$ . Непрерыв-

ная диаграмма направленности АФ  $paгO$  ( $paг=paго$ ) известна с точностью  $\sim 3-5\%$ . В поиске дискретной обратимой модели АФ О мы позволили себе деформировать (изменять параметры  $paг$  в окрестности  $paго$ ) непрерывную АФ  $paгO$  в пределах допуска 0.2%.

На рис. 3 представлен такой обратимый вариант  $pR=R=O^{-1}$ ,  $\Pi(pR*O)=1$ ,  $M(pR)=1/M(O)$ . Ограничение  $DIAP=100$  не сработало, т.е. полученная дискретная АФ О оказалась более обусловленной с  $DIAP \sim 90$ . Заметим, что в данном случае промежуток между  $\min|M(O)|$  и  $Iz$  порядка  $\sim 1/90$ , т.е. достаточно большой и проблем с точным обращением нет. Вертикальной односторонней стрелкой около МПФ  $M(pR)$  показана величина промежутка в единицах обусловленности  $DIAP$ . На рис. 2 представлен результат ФПН сверхразрешения с  $SR \sim 10$ , с точным обращением  $Ix=R*I_{\sigma}$ .

Будем условно говорить, что мы работаем в непрерывной модели с  $dx = 1/4$ . Параметры такой модели представлены на рис. 4. Обусловленность с  $DIAP=100$  тут уже срабатывает (см. вид МПФ  $|M(pR)| \leq 100$ ) и промежуток между  $\min|M(O)|$  и  $Iz$  увеличивается. Вертикальной двусторонней стрелкой около МПФ  $M(pR)$  показана величина промежутка в единицах обусловленности  $DIAP$ . В МПФ  $M(pO)$  значения отодвинуты от нуля на  $diap=1/DIAP=0.01$  с ошибкой  $M(pO)$

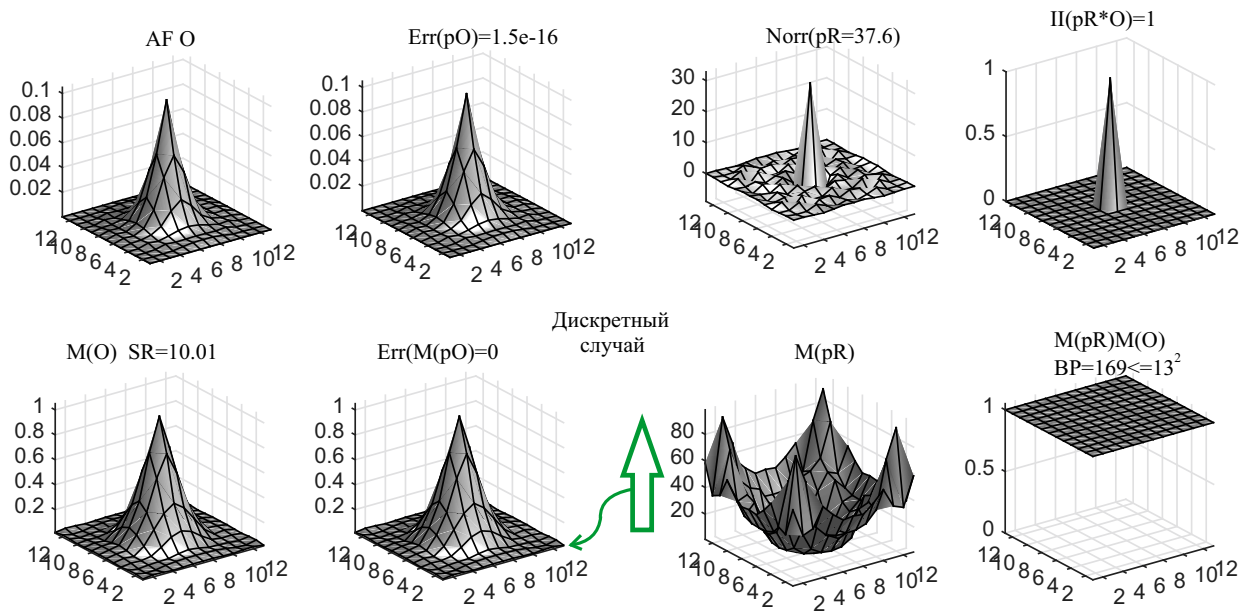


Рис. 3: Параметры АФ О и МПФ:  $Loc=12$ ,  $dx=1$ ,  $DIAP=100$

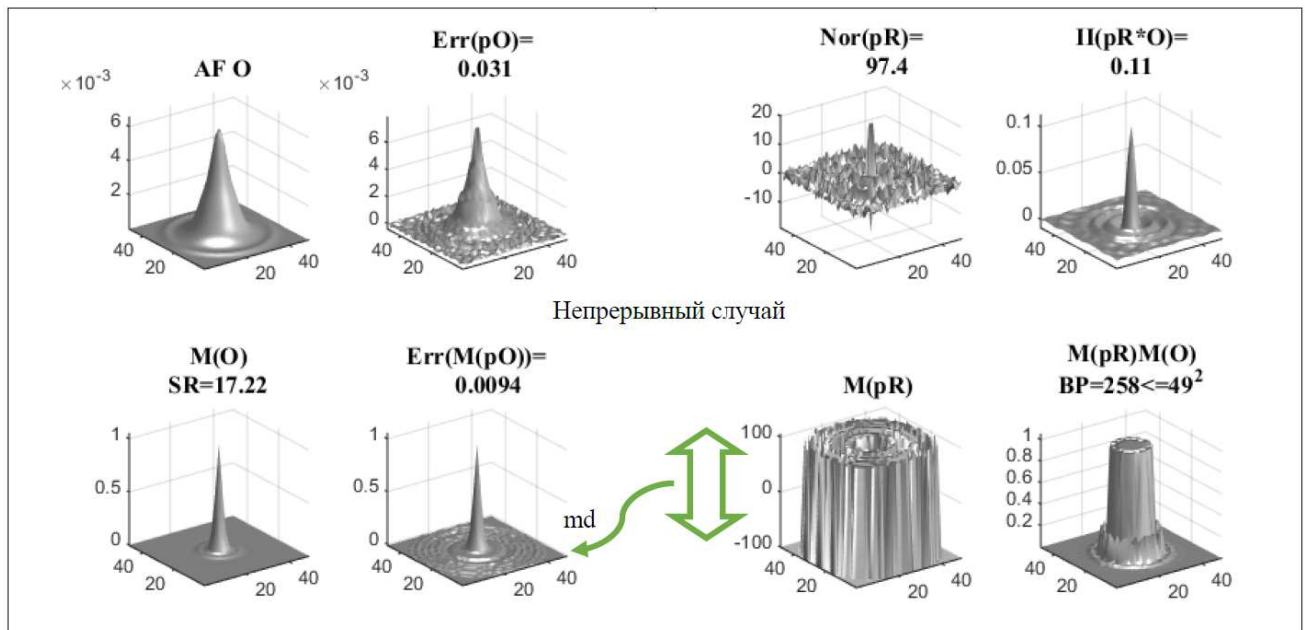


Рис. 4: Параметры АФ О и МПФ:  $Loc=12$ ,  $dx = 1/4$ ,  $DIAP=100$

порядка 1% и ошибкой в  $pO$  порядка 3% (рис. 4). Таким образом, прибор становится работоспособным с новой более «тонкой» АФ  $pR*O$ . Но это дается ценой потери обратимости до  $\Pi(pR*O)=0.11$  и увеличенной реакцией на шум до  $Nor(pR)=97.4$ .

Величина сверхразрешения выросла до  $SR=17.22$ , см. результаты сверхразрешения на рис. 2, 5.

### 6. ВАРИАНТЫ ФПН С ХАМ АФ О

Ниже рассмотрим варианты ФПН с ХАМ АФ О с разными длинами областей определения, начиная с  $Loc=4$  и кончая в три раза более длинной областью определения с  $Loc=12$  с разными шагами оцифровки  $dx=1$ ,  $dx = 1/4$  и параметрами обусловленности  $DIAP=[10,30,60,100,200,500]$ . С  $Loc=4$  мы захватываем основной лепесток АФ О, а в базовом случае с  $Loc=12$  захватываем боковой лепесток АФ О.

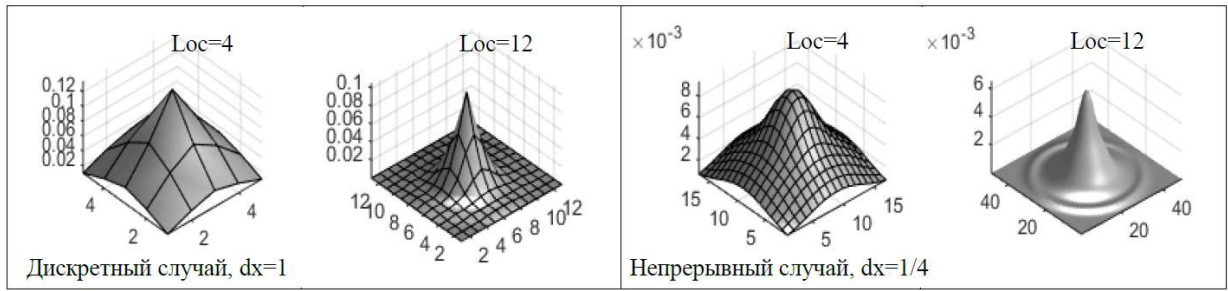


Рис. 5: Примеры начальных — Loc=4 и конечных — Loc=12 областей определения

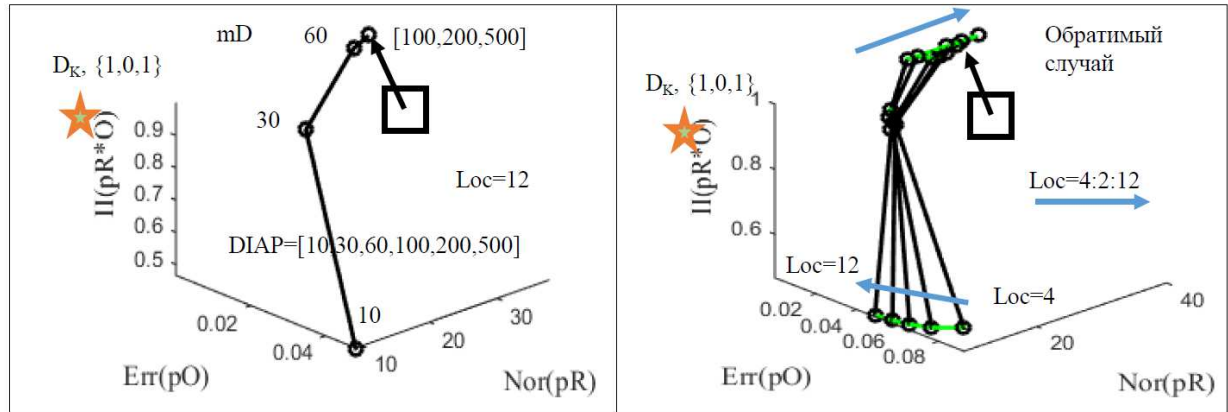


Рис. 6: Примеры ХАМ АФ О в дискретном случае

С Loc=12 по непрерывной АФ раgO была подобрана (раg=раgO) обратимая дискретная АФ О (рис. 3 и 6).

В базовом случае с Loc=12 при обусловленностях с DIAP=[100,200,500] мы имеем обратимые случаи, т.е.  $\Pi(pR^*O)=1$ , см. ХАМ АФ О слева на рис. 6. Если мы в ХАМ АФ О изобразим зависимости от длин с Loc=4:2:12, то базовый случай с Loc=12 окажется «левой кривой» с меньшей ошибкой Egr(pO) и меньшей реакцией на шум Nor(pR). Это вполне соответствует тому, что при компенсации искажений мы должны учитывать всю АФ О, а не только ее главный лепесток. Имеем естественный промежуток —  $diap|M(O)| \sim 1/90$ . Квадратиком с исходящей стрелкой отмечаются параметры-ситуации в дискретном случае, при которых получены сверхразрешенные изображения (рис. 2, 3). ХАМ АФ ДК — это одна точка (отмечена звездочкой) с координатами 1,0,1 (рис. 6).

В непрерывном случае мы заметно теряем обратимость  $\Pi(pR^*O)$  и получаем заметное увеличение (примерно в 10 раз) реакции на шум Nor(pR) (рис. 4, 7). Базовый случай с Loc=12 оказывается самой «левой кривой» — с меньшими Egr(pO) и с меньшими обратимостями  $\Pi(pR^*O)$ , см. стрелку вниз на левой ХАМ АФ О.

Естественный промежуток  $diap|M(O)|$  заметно уменьшился в непрерывном случае по сравнению с дискретным случаем. Стрелкой с квадратом на конце показываем направление роста размера промежутка

$diap|M(pO)|$  до примерно размера промежутка дискретного случая. Квадратиком с исходящей стрелкой отмечаются параметры-ситуации в непрерывном случае, при которых получены сверхразрешенные изображения максимальной точности (рис. 2, 4).

## 7. О ВЕЛИЧИНЕ СВЕРХРАЗРЕШЕНИЯ

В обратимых дискретных случаях SR (6) есть функция параметров LO с насыщением по двум параметрам DIAP и Loc, см. зависимость SR слева на рис. 8. Если область определения АФ О есть изображение с размерами большими Loc, то функция SR входит в насыщение и таким образом значения SR не зависят от размеров изображений.

В непрерывном случае в нашем примере обратимость по обусловленности DIAP не достигнута, насыщение по Loc имеет место, см. SR справа на рис. 8. В базовом непрерывном случае с Loc=12,  $dx = 1/4$  с ростом DIAP имеет линейный участок с высокой реакцией на шум Nor(pR) от 200 до 400. Предполагаем, что в обратимом непрерывном случае линейный рост SR по DIAP переходит в насыщение, как в дискретном случае справа. Ситуация понятна, в SR в насыщении (в обратимом случае) должна быть представлена вся информация об АФ О.

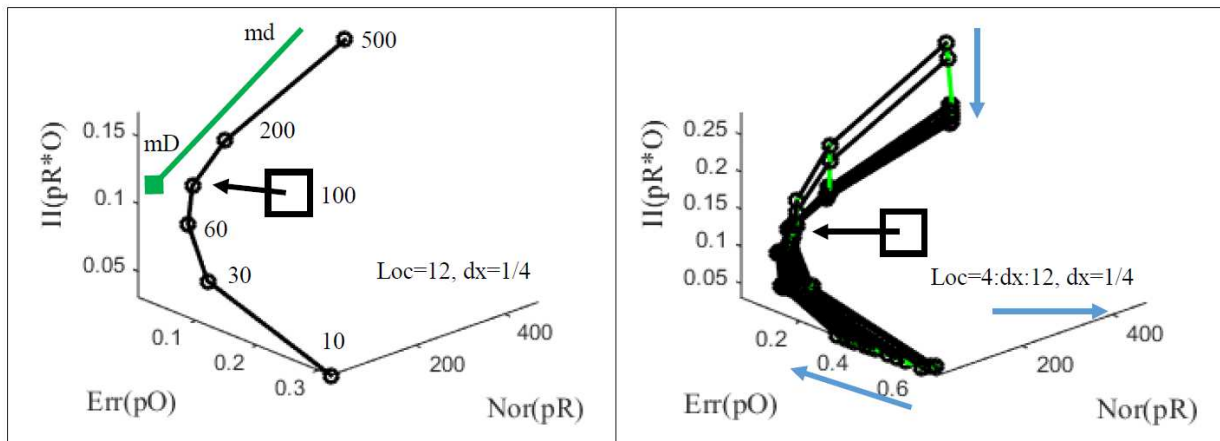


Рис. 7: Примеры ХАМ АФ О в непрерывном случае

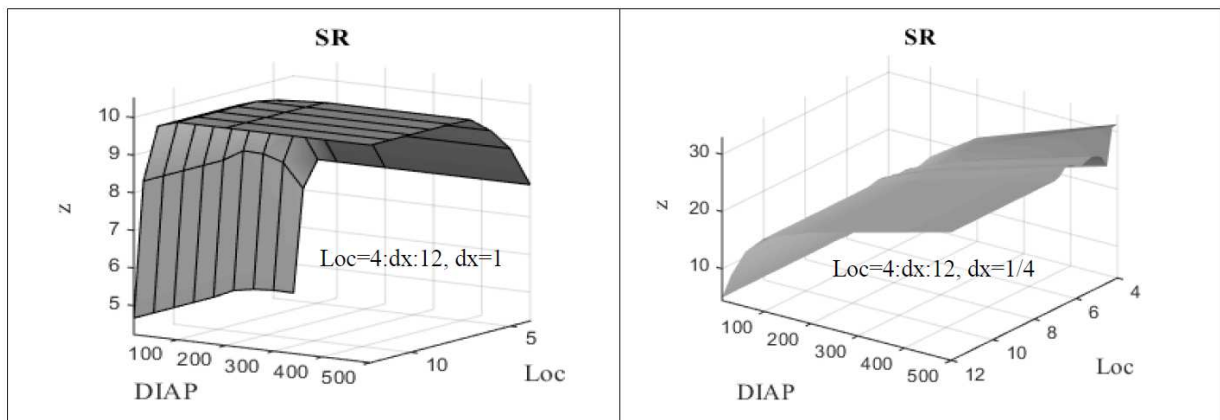


Рис. 8: Примеры поведения зависимости SR от параметров LO в дискретном и непрерывном случаях

Можно ввести экзотическое  $zSR$  с полосой пропускания  $BPz$ . В дискретном обратимом случае  $zSR=pSR=SR$  (6), что следует из того, что из  $Iz$  обратимости следует обычная обратимость, зависимости слева на рис. 9.

В непрерывном случае  $zSR$  позволяет «заглянуть за горизонт», т. е. узнать величины сверхразрешения при очень больших  $DIAP$  до  $Iz^{-1}$ . Если при  $DIAP=100$  мы имеем  $pSR=SR \sim 17$ , то для  $zSR$ , будем иметь почти на порядок больше — экзотические  $\sim 160$  в насыщении при  $Loc=12$ . Понятно, что такое экзотическое сверхразрешение недоступно для обработки реальных экспериментальных данных (расчет  $zR \cdot I\sigma$ ) из-за очень высокой реакции на шум  $Nor(zR) \sim 8 \cdot 10^6$ . Данный результат по существу является «основанием» проведения модельных экспериментов со сверхразрешением. Для полноты рассуждений приведем пример, когда модельные эксперименты по сверхразрешению не имеют смысла: это когда для «широких» АФ О существуют большие области МПФ  $M(O)$  с  $\min|M(O)| < Iz$ , т. е. счет невозможен из-за мантичных ошибок. На Рис. 10 приведены примеры зависимостей величин SR от параметра  $dx$ .

### 8. РЕГУЛЯРИЗАЦИЯ

При использовании методов регуляризации для решения обратных задач с плохо обусловленной АФ априорная информация о гладкости решений [7] может привести к большим остаточным и обратным ошибкам [3, 4, 8].

При интерпретации результата эксперимента мы не можем ответить на вопрос: Как понимать результат? Остаточная ошибка большая, а обратная ошибка теоретически может быть даже бесконечной. И все это при отсутствии индикатора обратимости в регуляризации, читай Замечание перед разделом Постановка Задачи.

### 9. ОБСУЖДЕНИЕ

Переход к непрерывному случаю может увеличить значение SR примерно на 70%. В сверхразрешённых изображениях возможны скачки, перепады яркостей, те решения обратной задачи по компенсации искажений АФ О не являются гладкими.

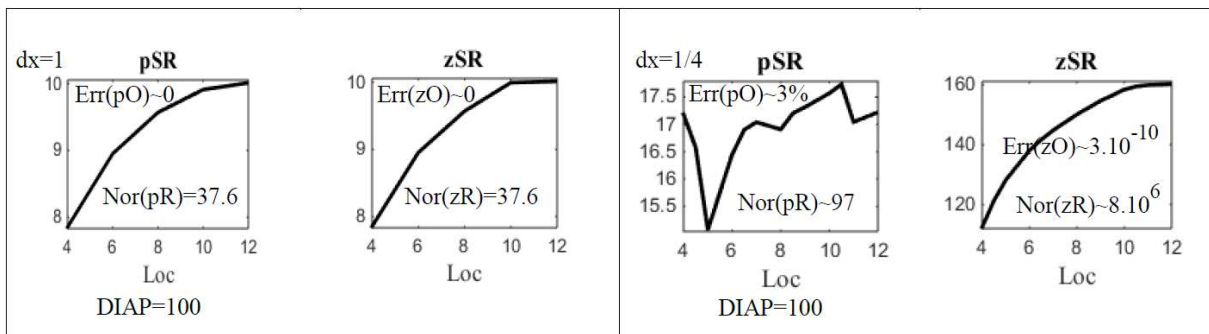


Рис. 9: Зависимости SR от Loc в дискретном  $dx=1$ , непрерывном  $dx = 1/4$  случаях и в случаях  $Iz$  обращений

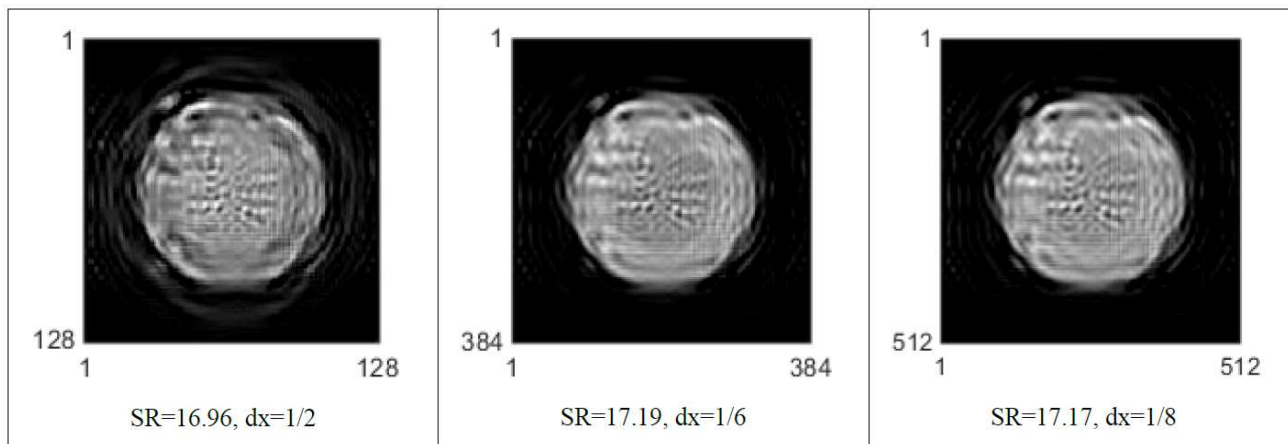


Рис. 10: Зависимость величины SR от  $dx$  при  $DIAP=100$ ,  $Loc=12$

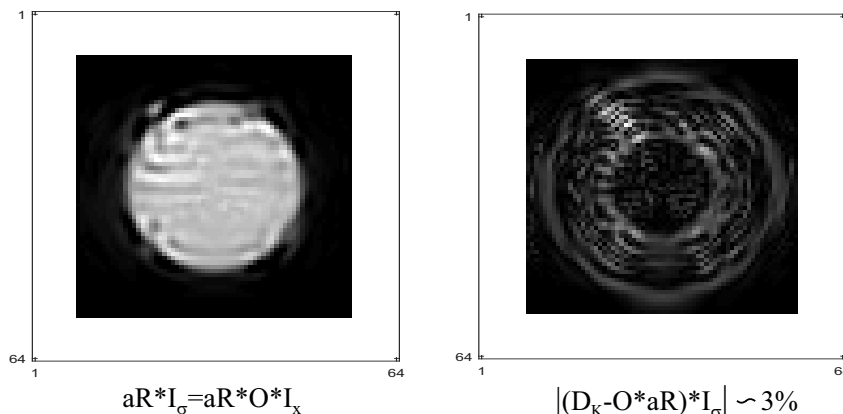


Рис. 11: Результат, полученный методом регуляризации. Результат —  $aR \cdot I_\sigma$ , остаточная ошибка  $|(D_K - O \cdot aR) \cdot I_\sigma| \sim 3\%$ , обратная ошибка  $aO = aR - 1$ ,  $Err(aO) = 1.46$

Негладкость решений позволяет обоснованно и безопасно применять данный метод, например, в контурах управления реактором. Интересные модификации методов управления АФ О могут быть реализованы в новых радарных технологиях, локаторах с синтезированной апертурой, рентгеновских томографах, телескопах и т. п.

Если есть необходимость, то решения (сверхразрешенные изображения) можно «сгладить» согласно априорной информации. Возможно применение ФПН АФ с интерполяцией для достижения предельного сверх разрешения в электронной микроскопии и томографии. в томографии нужен очень мощный вычислитель с большой памятью, так как задачи трехмерные.



В данной работе рассматривались проблемы повышения разрешения только за счет методов ФПН АФ О,

математические приемы оказались намного сложнее методов регуляризации.

- 
- [1] Терентьев Е. Н., Терентьев Н. Е., Фаршакова И. И. Труды школы-семинара «Волны-2017». Математическое моделирование в радиофизике и оптике. С. 56. Краснови́дово, 4-9 июня, 2017.
- [2] Терентьев Е. Н., Терентьев Н. Е., Фаршакова И. И. Труды школы-семинара «Волны-2017». Математическое моделирование в радиофизике и оптике. С. 59. Краснови́дово, 4-9 июня, 2017.
- [3] Терентьев Е. Н., Терентьев Н. Е. Изв. РАН. Сер. Физ. 2015. **79**, № 12. С. 1633.
- [4] Terentiev E. N., Terentiev N. E. Bull. Russ. Acad. Sci. Phys. 2015. **79**, N 12. P. 1427. DOI 10.3103/S1062873815120229
- [5] Терентьев Е. Н., Терентьев Н. Е., Фаршакова И. И. Научная конференция «Ломоносовские чтения», секция физики. С. 184. апрель 2017.
- [6] Терентьев Е. Н., Терентьев Н. Е., Фаршакова И. И. Научная конференция «Ломоносовские чтения», секция физики. С. 187. апрель 2017.
- [7] Kosarev E. L. Inverse problems. 1990. **6**. P. 55.
- [8] Тимановский А. Л., Пирогов Ю. А. Радиотехника. 2017. С. 154. URL: <https://istina.msu.ru/publications/book/74033655/>.
- [9] Тихонов А. Н., Уфимцев М. В. Статистическая обработка результатов эксперимента. М.: изд. Московского университета, 1988.
- [10] Кузнецов Н. А., Сеницын И. Н. УФН. 2009. **179**. С. 216.
- 

## Physical Principles of Settings for Apparatus Functions in the measuring systems

E. N. Terentiev<sup>1,a</sup>, N. E. Terentiev<sup>2,b</sup>, Yu. A. Pirogov<sup>3</sup>, I. I. Farshakova<sup>1,d</sup>

<sup>1</sup>Department of Mathematical modeling and informatics, Faculty of Physics, Lomonosov Moscow State University Moscow 119991, Russia

<sup>2</sup>HiQo Solutions, Moscow, 135 Cedar St Richmond Hill, Georgia 31324, USA

<sup>3</sup>Department of Photonics and Microwave Physics, Faculty of Physics, Lomonosov Moscow State University Moscow 119991, Russia

E-mail: <sup>a</sup>en.teren@physics.msu.ru, <sup>b</sup>nikolay.terentyev@gmail.com, <sup>c</sup>yupi937@gmail.com, <sup>d</sup>irinafarshakova@gmail.com

Physical Principles of Setting (PPS) of Apparatus Functions (AF) of measuring systems (PPS AF) on the sizes of domains of determination AF are proposed. Sizes of AF O definition region are chosen so that its inverse resolving function  $R = O^{-1}$  in the chosen discrete domain has a minimal norm. In the PPS AF method, the result is reversible; there is no «a priori smoothness of solutions» with a residual error, as in the regularization method. Action of PPS method is demonstrated on the example of the Sun radio image super-resolution in comparison with a result obtained by regularization one.

PACS: 02.30.Nw, 02.30.Zz

*Keywords:* modulation transfer function, conditionality, convolution, Fourier transform, inverse problem, limited super-resolution, radio vision.

Received 15 December 2017.

### Сведения об авторах

1. Терентьев Евгений Николаевич — канд. физ.-мат. наук, ст. преподаватель; тел.: (495) 939-41-78, e-mail: en.teren@physics.msu.ru.
  2. Терентьев Николай Евгеньевич — lead developer, HiQo Solutions, Moscow; тел.: (495) 356-84-96, e-mail: nikolay.terentyev@gmail.com.
  3. Пирогов Юрий Андреевич — доктор физ.-мат наук, профессор; тел.: (495) 939-16-69, e-mail: yupi937@gmail.com.
  4. Фаршакова Ирина Игоревна — студентка; e-mail: irinafarshakova@gmail.com.
-